

**АНАЛИЗ ПОЛУИНКЛЮЗИВНЫХ ОДНОЧАСТИЧНЫХ  
РАСПРЕДЕЛЕНИЙ В  $\pi$ - $p$ -ВЗАИМОДЕЙСТВИЯХ  
ПРИ  $p=40$  Гэв/с**

В. Г. ГРИШИН, С. В. ДЖМУХАДЗЕ, И. А. ИВАНОВСКАЯ, А. Н. СИСАКЯН,  
Э. Т. ЦИВЦИВАДЗЕ, Л. Н. АБЕСАЛАШВИЛИ <sup>1)</sup>, Н. С. АМАГЛОБЕЛИ <sup>1)</sup>,  
Я. З. ДАРБАИДЗЕ <sup>1)</sup>, М. И. ДАСАЕВА <sup>1)</sup>, Н. К. КУЦИДИ <sup>1)</sup>, Т. Г. МАХАРАДЗЕ <sup>1)</sup>,  
И. Ш. МИРИАНАШВИЛИ <sup>1)</sup>, Р. Г. САЛУКВАДЗЕ <sup>1)</sup>, Л. А. СЛЕПЧЕНКО <sup>1)</sup>,  
Ю. В. ТЕВЗАДЗЕ <sup>1)</sup>, М. С. ЧАРГЕЙШВИЛИ <sup>1)</sup>

**ОБЪЕДИНЕННЫЙ ИНСТИТУТ ЯДЕРНЫХ ИССЛЕДОВАНИЙ**

(Поступила в редакцию 21 мая 1975 г.)

На статистике 6000  $\pi$ - $p$ -взаимодействий проведен анализ одночастичных полуинклюзивных спектров  $\pi^\pm$ -мезонов на основе модели дифракционного возбуждения.

## 1. Введение

Одна из проблем инклюзивного подхода к взаимодействию адронов при высоких энергиях — выяснение зависимости тех или иных наблюдаемых эффектов от множественности. Для решения подобных вопросов можно привлечь информацию о так называемых полуинклюзивных спектрах, т. е. характеристиках реакций с данной топологией, наглядно представляющих вклады различных множественностей в физические явления.

В настоящей работе мы приведем количественное описание одночастичных распределений  $\pi^\pm$ -мезонов при данной множественности. Приведенные экспериментальные данные были получены из анализа  $\sim 6000$  неупругих  $\pi$ - $p$ -событий с множественностью от 2 до 12 заряженных частиц (включительно), зарегистрированных в 2-метровой пропановой камере ОИЯИ, облученной  $\pi^-$ -мезонами с импульсом  $(40,00 \pm 0,24)$  Гэв/с на ускорителе ИФВЭ [1]. В работе [2] дано описание оптической системы камеры и методика определения оптических констант, а вопросы, связанные с отбором, выделением взаимодействий и обработкой пленочной информации с 2-метровой пропановой камеры, изложены в работе [3]. Результаты по импульсным и угловым инклюзивным характеристикам  $\pi$ - $p$ -взаимодействий при  $p=40$  Гэв/с были опубликованы в работах [4].

Анализ будет основан на некоторых следствиях модели для полуинклюзивных характеристик [5], которая основывается на предположении о статистическом характере инклюзивного спектра вторичных частиц. Далее проводится сравнение модельных предсказаний с полученными в работе одночастичными распределениями по поперечным и продольным составляющим импульса  $\pi^\pm$ -мезонов. Отметим, что в работе не проводилось совместное описание полуинклюзивных одночастичных спектров с зарядовыми топологическими распределениями; укажем в этой связи, что соответствующий анализ, а также проведенное в [6] изучение корреляций нейтральных и заряженных частиц изложены в обзоре [7].

<sup>1)</sup> Тбилисский государственный университет.

## 2. Теоретические предположения

Рассмотрим ограничения, которые накладываются на полуинклюзивные характеристики реакций  $a+b \rightarrow c(p) + (n-1)_{\text{зар. част.}} + \dots$  при выборе структурной функции соответствующего инклюзивного спектра  $a+b \rightarrow c + \dots$  в виде статистического распределения [8] бозе-газа

$$f(p) = E \frac{d\sigma}{dp} = \text{const} \cdot (e^{k_0 E - k_1 p_{\perp}} - 1)^{-1}, \quad (1)$$

где  $p$ ,  $E = \sqrt{p^2 + m^2}$  — импульс и энергия выделенной частицы  $c(p)$  в с.ц.и.;  $k_0$ ,  $k_1$  — параметры, связанные со средними значениями энергии и продольного импульса вторичных частиц.

Выбор распределения в форме (1) продиктован тем, что с его помощью удается хорошо описывать экспериментальные спектры в  $\pi^-p$ -взаимодействиях в предположении об изотропном распаде  $N\pi$ ,  $N2\pi$ , и т. д. кластеров [9], и оно удовлетворяет статистическим предположениям моделей дифракционного возбуждения [10-13]. Отметим в этой связи, что в трактовке модели дифракционного возбуждения (м.д.в.) в качестве амплитуды распада кластера обычно вместо (1) выбирается статистическое распределение Больцмана с последующим его усреднением по массам возбужденных кластеров.

В настоящей работе мы не будем проводить соответствующий анализ и ограничимся выяснением вклада отдельной статистической компоненты (1) в спектры при фиксированной множественности.

Нас будет интересовать поведение величин  $E d\sigma_n / dp$ , где  $n$  — число заряженных частиц в конечном состоянии реакции  $\pi^-p \rightarrow c(p) + (n-1)_{\text{зар.}} + \dots$ , нормированных обычным образом на инклюзивный спектр

$$E \frac{d\sigma}{dp} = \sum_n E \frac{d\sigma_n}{dp}.$$

Разлагая выражение (1) в геометрический ряд по множественности  $n$  и учитывая определение полуинклюзивных сечений в переменных  $y$ ,  $p_{\perp}$ , получаем

$$\tau_n(y, p_{\perp}) = \frac{d\sigma_n}{dy dp_{\perp}^2} = 2\pi A \exp\{-nm_{\perp} M_{\perp} \text{ch}(y - y')\}, \quad (2)$$

где  $y'$  — величина, аналогичная быстрой, и составленная из  $k_0$ ,  $k_1$ ,

$$m_{\perp} = \sqrt{p_{\perp}^2 + m^2}, \quad M_{\perp} = \sqrt{k_0^2 - k_1^2}.$$

Ввиду неоднозначности разложения в ряд удобно работать с ненормированными на  $\sigma_n$  распределениями. В физических приложениях мы будем пользоваться лишь относительными величинами.

Интегрируя распределение (2) по поперечным массам, получим нормированное относительное распределение по быстрой:

$$\tau_n(y) = \frac{1}{\sigma_n} \frac{d\sigma_n}{dy} = \frac{cn}{\alpha} \frac{1 + \alpha \text{ch } y}{k_1(\alpha) \text{ch}^2 y} e^{-\alpha \text{ch } y}, \quad (3)$$

где  $\alpha = nmM_{\perp}$ ,  $k_1(z)$  — функция Бесселя второго рода. При  $n > \bar{n}$  можно использовать асимптотику бesselовых функций и тогда

$$\tau_n(y) = \frac{\sqrt{\bar{n}}}{\sqrt{2\pi m M_{\perp}}} \frac{1 + \alpha \text{ch } y}{\text{ch}^2 y} \exp\{-2\alpha \text{sh}^2(y/2)\}. \quad (4)$$

Отметим два важных свойства распределений (3) и (4):

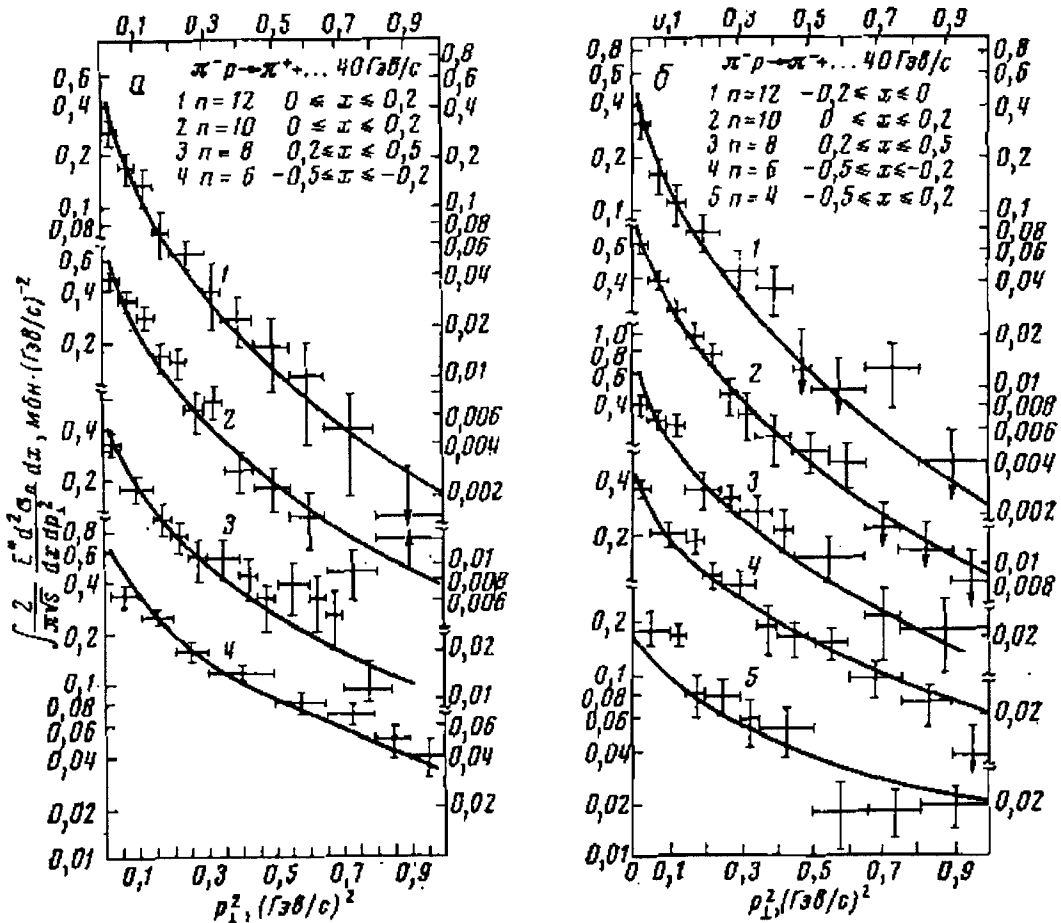


Рис. 1. Полуинклюзивные распределения  $\pi^+$ -мезонов (а) и  $\pi^-$ -мезонов (б) по  $p_{\perp}^2$  для различных фиксированных областей  $x$ . Кривые вычислялись по формуле (5)

- 1) «сужение» пика распределения с увеличением  $n$ , т. е. рост эффективного наклона для больших множественностей;
- 2) возрастание максимального значения при  $y=0$ <sup>2)</sup> с множественностью.

Для соответствующих спектров по поперечным составляющим импульса из выражения (2), используя определение бesselовых функций, получаем:

$$\tau_n(p_{\perp}) = \frac{1}{\sigma_n} \frac{d\sigma_n}{dp_{\perp}^2} = \frac{nM_{\perp}}{mk_1(\tilde{\alpha})} k_0(nm_{\perp}M_{\perp}), \quad (5)$$

где  $k_0(z)$ ,  $k_1(z)$  — функция Бесселя второго рода. При  $n > \bar{n}$

$$\tau_n(p_{\perp})_{n > \bar{n}} \approx cnm_{\perp}^{-1/2} \exp\{-nM_{\perp}(m_{\perp} - m)\}. \quad (6)$$

Таким образом, полуинклюзивный спектр по  $p_{\perp}$  сужается, как и  $\tau_n(y)$ , причем величина нормированных сечений растет с множественностью линейно  $\tau_n(p_{\perp \max}) \sim cn$ .

### 3. Сравнение с экспериментом

Экспериментальные полуинклюзивные распределения по быстротам и поперечным импульсам были получены для  $\sim 6000$   $\pi$ - $p$ -взаимодействий при  $p=40$  Гэв/с. Эти распределения представлены на рис. 1–5. На них же представлены в виде кривых результаты описания согласно уравнениям раздела 2.

<sup>2)</sup> В отличие от стандартных м.д.в. [10, 11], приводящих к спаду спектров в центральной области. См. обсуждение в [12].

### А. Распределения по поперечным составляющим импульса

На рис. 1а, б приведены экспериментальные распределения по  $p_{\perp}^2$  для различных фиксированных интервалов  $x$  ( $x=2p_{\perp}^*/\sqrt{s}$ ) и фиксированных множественностей  $n$ . На графиках заметны как «сужение» пика распределений, упоминавшееся выше (см. (6)), так и рост максимума распределения с увеличением  $n$  (рис. 2). Нами проведен количественный анализ этих распределений на основе уравнений (5), (6) и результаты подгонок представлены соответствующими кривыми. Сравнение результатов эксперимента с расчетами по  $\chi^2$ -критерию показывает, что уровень согласия оказывается хорошим только для определенных областей по  $n$  и  $x$  (см. табл. 1, 2). В соответствии со статистическим содержанием модельных формул эти результаты естественные, так как описание удается получить только для тех областей по  $n$  и  $x$ , в которых рождается в каждом случае наибольшее число частиц. Это, в частности, центральная область  $x \sim 0$  для больших множественностей  $n > \bar{n}$ . Отметим, что в проведенном рассмотрении не учитывался эффект лидирующей частицы, который безусловно проявляется при этих энергиях [7]. Подчеркнем тот факт, что численные значения параметров в (5), (6) соответствуют коэффициентам в (1), использованным при описании экспериментальных данных по инклюзивным спектрам в  $\pi^-p$ -взаимодействии при  $p=40$  Гэв/с.

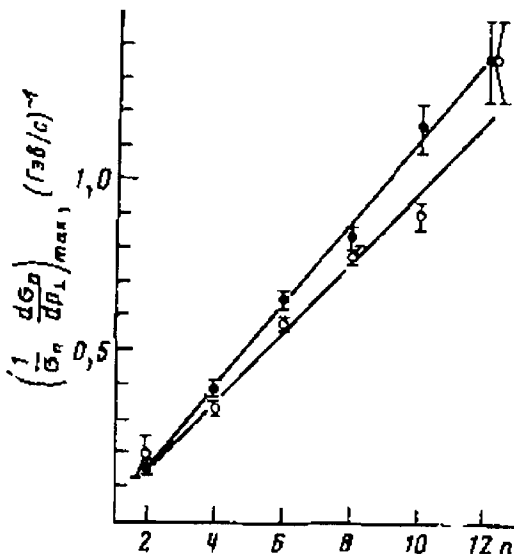


Рис. 2. Распределение максимальных значений  $\frac{1}{\sigma_n} \frac{d\sigma_n}{dp_{\perp}}$  в зависимости от топологии  $n$ . Кривые — результат аппроксимации по формуле  $(1/\sigma_n)(d\sigma_n/dp_{\perp})=a+bn$ . Точки:  $\circ$  —  $\pi^+$ -мезоны,  $b=1,05 \pm 0,05$ ;  $\bullet$  —  $\pi^-$ -мезоны,  $b=1,19 \pm 0,05$

Интересно отметить, что инклюзивный спектр  $\pi^+$ -мезонов по поперечным импульсам, полученный суммированием (5) по всем топологиям  $n$ ,

Таблица 1

Величина  $\chi^2/N$  для реакции  $\pi^-p \rightarrow \pi^+ \dots$  ( $N$  — число экспериментальных точек)

Топология $n$	$-0,8 < x < -0,5$	$-0,5 < x < -0,2$	$-0,2 < x < 0$	$0 < x < 0,2$	$0,2 < x < 0,5$	$0,5 < x < 0,8$	$0,8 < x < 1,0$
2	21/10	46/8	26/7	25/9	—	—	—
4	110/6	96/11	166/11	110/8	103/12	51/17	—
6	29/7	7/8	89/14	77/13	24/12	6/8	—
8	—	70/12	38/17	49/15	7/12	—	—
10	—	36/10	13/11	18/12	12/9	—	—
12	—	9/8	18/10	5/11	8/7	—	—

находится в хорошем согласии с экспериментальными данными в области  $|x| \sim 1$ . Соответствующее распределение для  $\pi^-$ -мезонов согласуется хуже из-за отмечавшихся уже эффектов лидирующей частицы.

Далее нами проводилось сравнение на основании уравнения типа (6) с данными по полуинклюзивным распределениям, проинтегрированным по всей области  $x$ , в которых эффекты центральной и периферической частей

Таблица 2

Величина  $\chi^2/N$  для реакции  $\pi^-p \rightarrow \pi^- + \dots$  ( $N$  — число экспериментальных точек)

Топология $n$	$-0,8 < x < -0,5$	$-0,5 < x < -0,2$	$-0,2 < x < 0$	$0 < x < 0,2$	$0,2 < x < 0,5$	$0,5 < x < 0,8$	$0,8 < x < 1,0$
2			26/9	64/8	147/9	157/8	179/10
4		12/9	629/11	220/14	195/12	828/11	17/8
6	7/7	9/11	118/13	190/14	19/12	14/9	12/8
8		21/9	27/12	32/14	16/10		
10		7/10	4/10	6/13	29/8		
12		9/8	7/10	11/10	16/7		

Примечание. Для всей области по  $x$   $k_0 = 0,5$  Гэв $^{-1}$ ,  $k_1 = 0,2$  Гэв $^{-1}$ .

Таблица 3

Множественность $n$	$\pi^-$		$\pi^+$	
	$a, (\text{Гэв}/c)^{-1/2}$	$b, (\text{Гэв}/c)^{-1/2}$	$a, (\text{Гэв}/c)^{-1/2}$	$b, (\text{Гэв}/c)^{-1/2}$
2	$0,196 \pm 0,006$	$-0,190 \pm 0,007$	$0,075 \pm 0,004$	$-0,047 \pm 0,006$
4	$0,145 \pm 0,004$	$-0,121 \pm 0,008$	$0,090 \pm 0,003$	$-0,067 \pm 0,004$
6	$0,109 \pm 0,004$	$-0,087 \pm 0,005$	$0,072 \pm 0,003$	$-0,018 \pm 0,004$
8	$0,100 \pm 0,004$	$0,015 \pm 0,009$	$0,082 \pm 0,004$	$0,045 \pm 0,009$
10	$0,095 \pm 0,010$	$0,120 \pm 0,024$	$0,069 \pm 0,009$	$0,182 \pm 0,023$
12	$0,065 \pm 0,016$	$0,372 \pm 0,051$	$0,058 \pm 0,018$	$0,366 \pm 0,051$

взаимодействия усреднены. Наиболее удовлетворительное согласие достигается в параметризации

$$\frac{1}{\sigma_n} \frac{d\sigma_n}{dp_{\perp}^2} = \frac{(a + bp_{\perp})n}{m_{\perp}^{1/2}} \exp\{-nM_{\perp}(m_{\perp} - m)\}. \quad (7)$$

Результаты аппроксимации экспериментальных данных формулой (7) приведены на рис. 3а, б. Значения параметров  $a$  и  $b$  приведены в табл. 3.

### Б. Распределения по быстротам при фиксированных $n$

На рис. 4а, б и 5 представлены полуинклюзивные экспериментальные распределения по продольной скорости  $\pi^{\pm}$ -мезонов ( $1/\sigma_n$ ) ( $d\sigma_n/dy$ ) в  $\pi^-p$ -взаимодействиях при  $p=40$  Гэв/с. Приведенные теоретические кривые соответствуют результатам подгонки по формулам (3), (4). Характерной особенностью полуинклюзивных распределений по продольному импульсу, в отличие от соответствующих спектров по поперечным составляющим импульса, является их чувствительность к наличию резонансов и лидирующих частиц, которая проявляется в наблюдаемой асимметрии вперед — назад, особенно при малых множественностях. Удовлетворительное описание удается получить лишь для событий с большой множественностью  $n > \bar{n}$  ( $n=8, 10, 12$ ), причем согласие улучшается с ростом  $n$ .

Для распределений с  $n \leq 6$  модельные кривые превышают экспериментальные значения в области  $y \sim 0$  и сильно падают по краям интервала  $y$ . Уровень согласия в данном случае неудовлетворительный, что находится в соответствии со статистическим характером распределений, которые определяются в основном событиями с малыми импульсами и большими множественностями. По поводу асимметричного характера распределений с малой множественностью заметим, что в силу модельных предположений и без включения конкретного механизма рождения изобар и эффекта лидирующих частиц формула (6) не объясняет сдвиг максимума  $d\sigma_n/dy$  в сторону положительных  $y$  для  $\pi^-$ -мезонов, наблюдающийся для  $n \leq 6$ . Заметим только, что эти свойства довольно естественно получаются в моделях

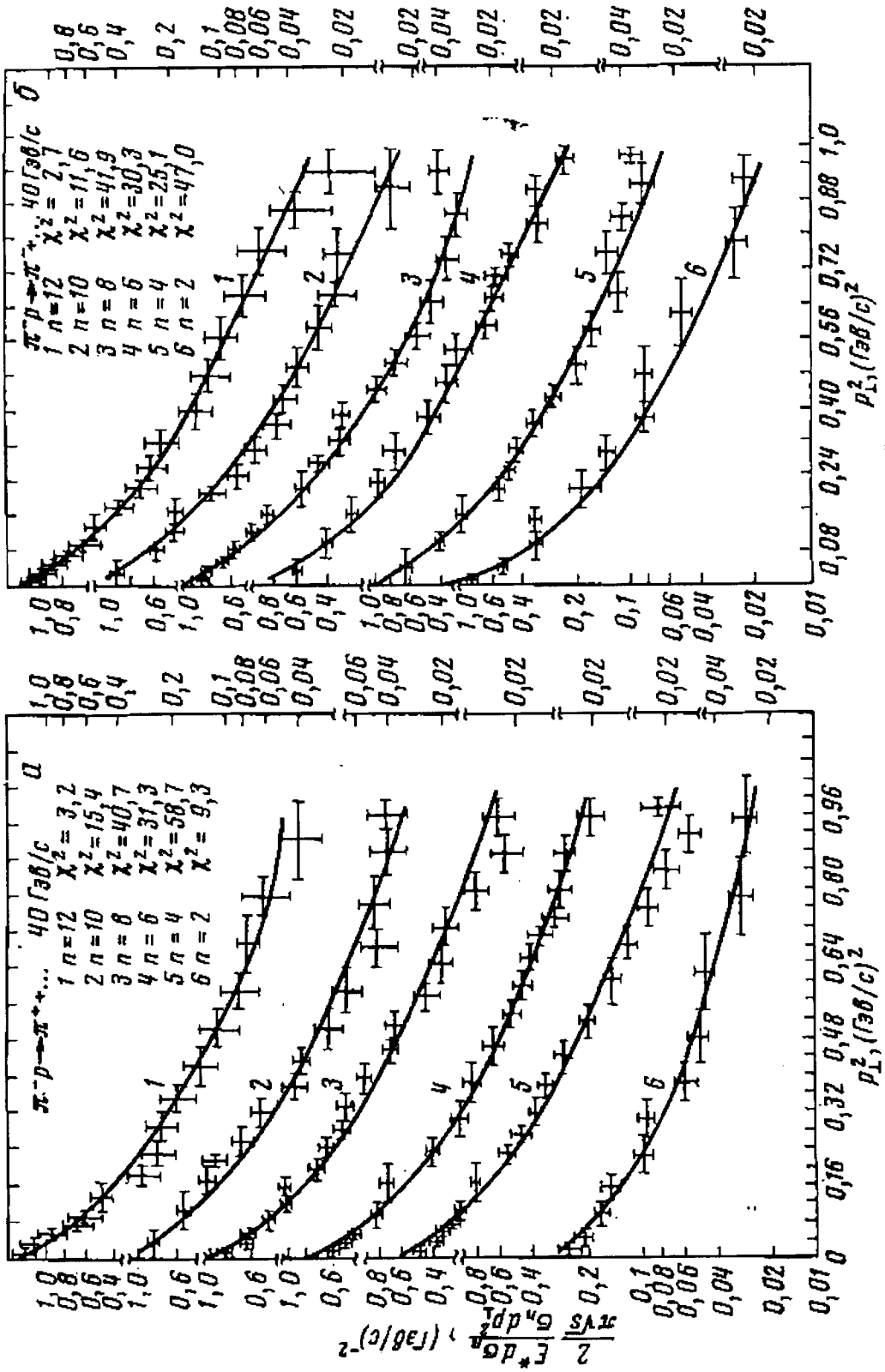


Рис. 3. Полученные распределения  $\pi^+ \pi^-$ -мезонов (а) и  $\pi^-$ -мезонов (б) по  $p_L^2$ , проинтегрированные по всему интервалу  $x: -1 < x < +1$ . Кривые — результат вычислений по формуле (7)

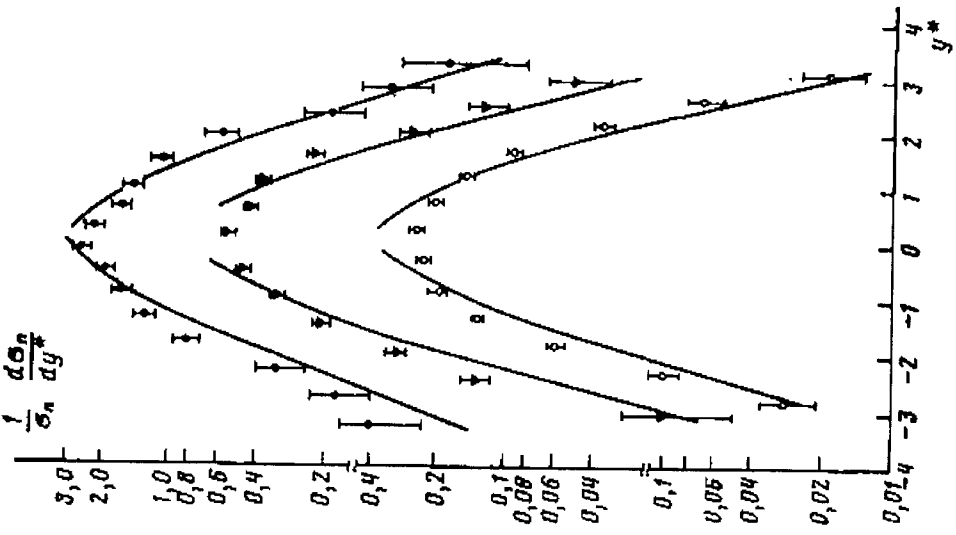


Рис. 5

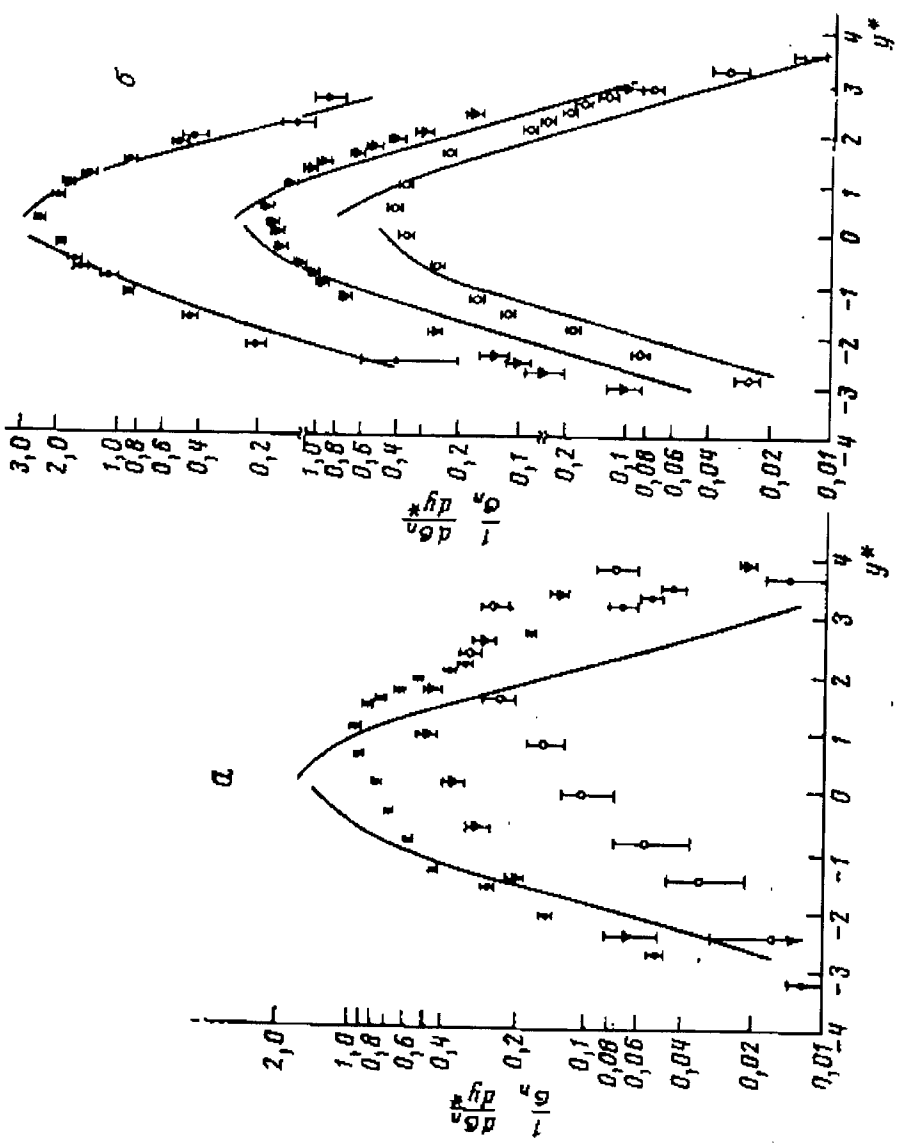


Рис. 4

Рис. 4. Полуинклюзивные распределения по быстрой  $y$  для  $\pi^-$ -мезонов: а — при  $n=2$  (○), 4 (▼), 8 (●), 8 (●); б — при  $n=8$  (○), 10 (▼), 12 (●); кривые вычислены по формуле (3) для  $n=8$ ; кривые вычислены по формуле (4)

Рис. 5. Полуинклюзивные распределения по быстрой  $y$  для  $\pi^+$ -мезонов при  $n=8$  (○), 10 (▼), 12 (●); кривые получены по формуле (4)

фрагментации. В частности, распределение по быстрой части из работы [11]

$$\frac{1}{\sigma_n} \frac{d\sigma_n}{dy} \Big|_{\text{л.с.}} \sim (\text{sh } y)^2 \exp \{-\alpha (\text{sh } y)^2/n\} \quad (8)$$

наряду с линейным (по  $n$ ) ростом максимума дает упомянутый сдвиг последнего  $(y_0)_{\text{max}} \sim \ln \sqrt{n}$ .

Авторы считают приятным долгом выразить свою благодарность В. Р. Гарсеванишвили, В. А. Матвееву, А. Н. Квинихидзе, С. П. Кулешову, А. Н. Тавхелидзе за полезные обсуждения работы и ценные замечания. Авторы признательны сотрудникам коллаборации по исследованию процессов множественного рождения в л $N$ -взаимодействиях при  $p=40$  Гэв/с за предоставление материала и полезные обсуждения.

#### Литература

- [1] M. P. Balandin, M. G. Borisov et al. Nucl. Instr. and Meth., 20, 110, 1973.
- [2] Игуев Дин Ты, В. Н. Печев, Н. А. Смирнов, М. И. Соловьев. Сообщения ОИЯИ, 13-5942, 1973.
- [3] А. У. Абдурахимов, Н. С. Ангелов и др. ОИЯИ, 1-6967, 1973.
- [4] Алма-Ата - Будапешт - Бухарест - Варшава - Дубна - Краков - Москва - София - Ташкент - Тбилиси - Улан-Батор - Хакой. Сотрудн. ОИЯИ, 1-8064, 1974; ОИЯИ, P1-7103, 1973; ЯФ, 18, 545, 1973; ОИЯИ, P1-7268, 1973; ЯФ, 19, 103, 1974; ОИЯИ, P1-7543, 1973; ЯФ, 19, 1039, 1974; ОИЯИ, P1-2869, 1974; ЯФ, 21, 328, 1975.
- [5] Я. З. Дарбадзе, Л. А. Слепченко. Сообщения АН ГрузССР, 79, 1, 1975.
- [6] В. Г. Грвшин, С. П. Кулешов, В. А. Матвеев, А. Н. Сисакян, Г. Янчо. ОИЯИ, E2-6596, 1972; ОИЯИ, P2-6950, 1973; ЯФ, 17, 1281, 1973; ОИЯИ, D2-7180, 1973.
- [7] A. N. Sissakian. RITP REP. 1-74, HELSINKI, 1974.
- [8] N. N. Biswas, N. M. Cason, V. P. Kenney, J. T. Powers, D. W. Shepard. Nucl. Phys., B59, 273, 1973.
- [9] E. M. Gordon. Phys. Rev., D8, 971, 1973.
- [10] M. Jacob, R. Slansky. Phys. Rev., D5, 1847, 1972. R. Hwa. Phys. Rev. Lett., 26, 1143, 1971.
- [11] M. Le Bellac, J. T. Donohue, J. L. Meunier. Nuovo Cim., 14A, 225, 1973. E. L. Berger, M. Jacob, R. Slansky. Phys. Rev., D6, 2580, 1972.
- [12] M. F. Bourdeau, Ph. Salin. C. N. R. S. Preprint PTB-57, Bordeaux, 1974. F. Hayot, F. S. Hadyeu, M. Le Bellac. Nucl. Phys., B80, 77, 1974.
- [13] Л. А. Слепченко. ОИЯИ, P-7642, 497, 1973.
- [14] Л. А. Слепченко. Лекции на Школе по физике элементарных частиц, Тбилиси, 1973; Сообщения АН ГрузССР, 73, 49, 1974.

#### ANALYSIS OF SEMI-INCLUSIVE ONE-PARTICLE DISTRIBUTION IN $\pi$ - $p$ INTERACTIONS AT $p=40$ GeV/c

V. G. GRISHIN, S. V. DZHMUKHADZE, I. A. IVANOVSKAYA, A. N. SISSAKYAN,  
E. T. TSIVTSIVADZE, L. N. ABESALASHVILI, N. S. AMAGLOBELI, Ya. Z. DARBAIDZE,  
M. A. DASAEVA, N. K. KOUTSIDI, T. G. MAKHARADZE, I. Sh. MIRIANASHVILI,  
R. G. SALUKVADZE, L. A. SLEPCHENKO, Yu. V. TEVZADZE, M. S. CHARGEISHVILI

One-particle semi-inclusive spectra of  $\pi^\pm$  mesons are analysed, basing on 6000 events of  $\pi$ - $p$  interaction, in framework of the diffractive excitation model.